

**«ПОЛЫЕ» ФУНКЦИИ ИСТОЧНИКА
В ЗАДАЧАХ РАДИАЦИОННОЙ ГАЗОДИНАМИКИ**

*Н. Г. Преображенский, С. Л. Ширикова
(Новосибирск)*

1. Известно, что многие модели и методы, применяемые при решении задач спектроскопии стационарной и квазистационарной оптически плотной плазмы, с незначительными изменениями могут быть перенесены и в радиационную газодинамику [1—3]. В то же время при анализе типичных газодинамических ситуаций (цилиндрических и сферических ударных волн, обтекания тела излучающим газом или плазмой, динамического скин-эффекта [4—6] и т. д.) нередко возникают потребности в привлечении специфических моделей. Это, в частности, относится к обширному классу функций источника, который характеризуется наличием «полости» в центральной области излучающего в данном интервале частот не полностью прозрачного объема газа или плазмы. «Полостью» может служить и тело, экранирующее центральную часть рассматриваемого светящегося объема. Разумеется, и среди традиционных задач спектроскопии плазмы можно указать такие, которые требуют введения в расчет «полых» функций источника. Типичный пример — разряды в инертных газах с вытесненной к периферии зоной свечения атомов [7].

Насколько известно, указанный класс функции источника до сих пор не исследовался и соответствующие ему особенности формирования контуров спектральных линий (а также и находимых с их помощью интегральных характеристик) не выяснились. Попытка в некоторой степени заполнить этот пробел — цель данной работы.

2. Рассмотрим круговое сечение объема плазмы (фиг. 1), в котором выделены три концентрические зоны и некоторый луч зрения, для определенности пересекающий все три зоны. Условимся, что максимум функции источника находится в пределах зоны 2, а зона 1 частично прозрачна. Точки l_1 и l_3 соответствуют границе зоны 2: за ее пределами поглощение и испускание света в исследуемом частотном интервале можно не учитывать. Точка l_2 отвечает середине хорды $l_1l_2 = l_2l_3$, а l — некоторая произвольная точка, лежащая в любой из трех зон.

Введем безразмерную координату x

$$(ll_3/l_1l_2) = 2x + 1,$$

оптические толщины

$$\tau_x = \int_0^x \kappa(v, x') dx', \quad \tau = 2 \int_0^{1/2} \kappa(v, x') dx'$$

(κ — локальный коэффициент поглощения) и безразмерный оптический масштаб $\xi = \tau_x/\tau$. В точке l_1 $x = \xi = 1/2$, в l_2 $x = \xi = 0$ и в l_3 $x = \xi = -1/2$, а во всех промежуточных точках l $x \neq \xi$.

Используем обычное лучевое приближение [8], для которого уравнение переноса относительно интенсивности (энергетической яркости)

$I(\nu, x)$ имеет вид

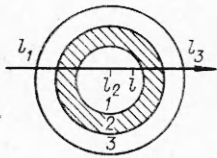
$$(2.1) \quad (dI(\nu, x)/d\tau) = \Phi(\nu, x) - I(\nu, x),$$

где $\Phi = (\varepsilon(\nu, x)/\kappa(\nu, x))$ — функция источника (ε — коэффициент испускания).

Можно убедиться [9], что формальное решение уравнения (2.1) имеет вид

$$(2.2) \quad Y(\tau) = 2\tau \exp(-\tau/2) \int_0^{1/2} \varphi(\nu, x) \operatorname{ch}(\tau, \xi) d\xi,$$

где $\varphi(\nu, x) = \Phi(\nu, x)/B(\nu_0, T)$; $Y(\tau) = I(\nu)/B(\nu_0, T)$. Здесь $B(\nu_0, T)$ — функция Планка с частотой ν_0 , соответствующей центру линии, и некоторой эффективной температурой T .



Фиг. 1

В данной задаче фактического знания T , а следовательно, и $B(\nu_0, T)$ не требуется: планковский излучатель играет в расчетах лишь роль некоторого порогового калибровочного стандарта [1].

3. Общие свойства решения (2.2) при условии, когда $x \neq \xi$, а частота ν сохраняется в виде аргумента безразмерной функции источника $\varphi(\nu, x)$, исследованы достаточно подробно [9]. При этом показаны

каким образом следует производить обобщение результатов, получаемых при существенно более простом подходе, когда (2.2) вырождается в несложное интегральное выражение

$$(3.1) \quad Y(\tau) = 2\tau \exp(-\tau/2) \int_0^{1/2} \varphi(x) \operatorname{ch}(\tau x) dx.$$

В нашем случае также естественно исходить из формулы (3.1). Кроме того, на основании сопоставлений различных типов моделей [9] оказывается возможным оперировать с простыми параметрическими функциями ступенчатого, трапециевидного и треугольного видов, в этом случае $Y(\tau)$ представляется в виде нескольких несложных аналитических выражений.

А. Прямоугольная модель (фиг. 2, а). Определяем $\varphi(x)$ в виде

$$\varphi(x) = \begin{cases} 0 & 0 \leq |x| \leq s_1/2, \\ C & s_1/2 \leq |x| \leq s_2/2, \\ 0 & s_2/2 \leq |x| \leq 1/2 \end{cases}$$

и находим $C = (s_2 - s_1)^{-1}$ из условия нормировки

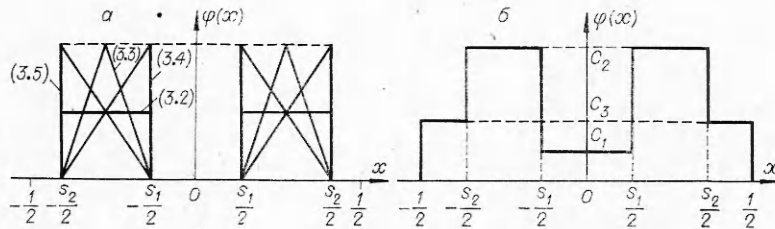
$$\int_0^{1/2} \varphi(x) dx = 1/2.$$

Формула (3.1) дает

$$(3.2) \quad Y(\tau) = 2(s_2 - s_1)^{-1} \exp(-\tau/2) [\operatorname{sh}(\tau s_2/2) - \operatorname{sh}(\tau s_1/2)].$$

Выбор прямоугольной модели соответствует предположению о том, что вторая зона является однородной, т. е. высвечивает как планковский излучатель, а зоны 1 и 3 содержат лишь атомы-абсорбенты. При этом $s_2 \geq s_1$, границы зоны 2 подвижны и s_1 и s_2 могут зависеть от времени. Устремляя $s_1 \rightarrow 0$ и считая $s_2 < 1$, приходим к известной модели Ньюмена—Бликера, подробно изучавшейся в [10].

Б. Треугольные модели (см. фиг. 2, а). Сохраняя те же граничные параметры s_1 и s_2 , учитывая нормировку функции $\varphi(x)$ и фиксируя вершину треугольника в точках $|x_0| = (s_1 + s_2)/4$ (равнобедренный треугольник), $|x_0| =$



Фиг. 2

$= s_1/2$ и $|x_0| = s_2/2$ (прямоугольные треугольники), находим соответственно

$$(3.3) \quad Y(\tau, |x_0| = (s_1 + s_2)/4) = (16/\tau)(\exp(-\tau/2)/(s_2 - s_1)^2 \times \\ \times [\operatorname{ch}(\tau s_1/2) + \operatorname{ch}(\tau s_2/2) - 2 \operatorname{ch}(\tau(s_1 + s_2)/4)]);$$

$$(3.4) \quad Y(\tau, |x_0| = s_1/2) = (8/\tau)(\exp(-\tau/2)/(s_2 - s_1)^2) [\operatorname{ch}(\tau s_2/2) - \\ - \operatorname{ch}(\tau s_1/2) - (\tau/2)(s_2 - s_1) \operatorname{sh}(\tau s_1/2)];$$

$$(3.5) \quad Y(\tau, |x_0| = s_2/2) = (8/\tau)(\exp(-\tau/2)/(s_2 - s_1)^2) [\operatorname{ch}(\tau s_1/2) - \\ - \operatorname{ch}(\tau s_2/2) + (\tau/2)(s_2 - s_1) \operatorname{sh}(\tau s_2/2)].$$

При вырождении треугольника в δ -функцию Дирака ($s_1 = s_2 = s$) имеем

$$Y(\tau) = \tau \exp(-\tau/2) \operatorname{ch}(\tau s/2).$$

В случае $s = 0$, когда δ -функция из второй зоны перемещается на ось излучателя, получаем хорошо известный результат [9], соответствующий бесконечно тонкой светящейся нити, окруженной слоем поглощающих атомов.

В. Ступенчатая трехзональная модель (фиг. 2, б). Обобщим прямоугольную модель с учетом того обстоятельства, что зоны I и 3 могут быть не только поглощающими, но и способны вносить определенный вклад в энергетический поток. Каждую из трех зон для простоты считаем однородной

$$\varphi(x) = \begin{cases} C_1 & 0 \leq |x| < s_1/2, \\ C_2 & s_1/2 \leq |x| \leq s_2/2, \\ C_3 & s_2/2 \leq |x| \leq 1/2. \end{cases}$$

Из трех констант C_1 , C_2 и C_3 в силу условия нормировки независимы лишь две. Введем поэтому отношения $\gamma_1 = (C_1/C_2) \leq 1$ и $\gamma_2 = (C_3/C_2) \leq 1$. Получаем

$$(3.6.) \quad Y(\tau) = 2 \exp(-\tau/2) / (\gamma_2 + s_2(1 - \gamma_2) - s_1(1 - \gamma_1)) [\gamma_2 \operatorname{sh}(\tau/2) + \\ + (1 - \gamma_2) \operatorname{sh}(\tau s_2/2) - (1 - \gamma_1) \operatorname{sh}(\tau s_1/2)].$$

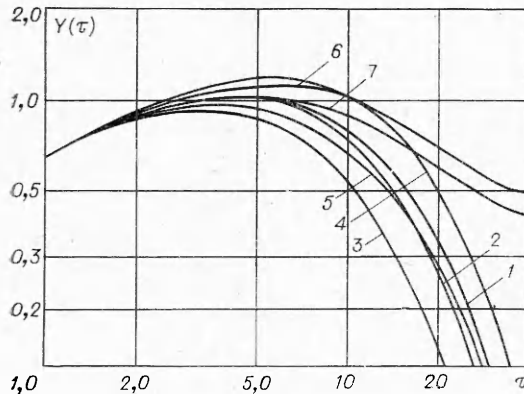
Устремляя s_1 к нулю, приходим к описанному в [9] классу ступенчатых двухзональных моделей.

Переход от $Y(\tau)$ непосредственно к контуру реабсорбированной линии $I(\nu)$ осуществляется с помощью соотношения

$$\tau = \tau_{\max} Q(\nu),$$

где $Q(\nu)$ — нормированный профиль линии, излучаемый оптически тонким слоем с максимумом в $\nu = \nu_0$; τ_{\max} — оптическая толщина, вычисленная для $\nu = \nu_0$.

4. Некоторые результаты расчетов зависимостей $Y(\tau)$ с различными «полыми» функциями источника представлены в логарифмическом масштабе на фиг. 3–5.



Фиг. 3

Влияние типов моделей функции источника $\varphi(x)$ на ход относительной энергетической яркости $Y(\tau)$ при граничных параметрах $s_1 = 0,4$ и $s_2 = 0,8$ показано на фиг. 3, где кривым соответствуют номера расчетных формул $Y(\tau)$:

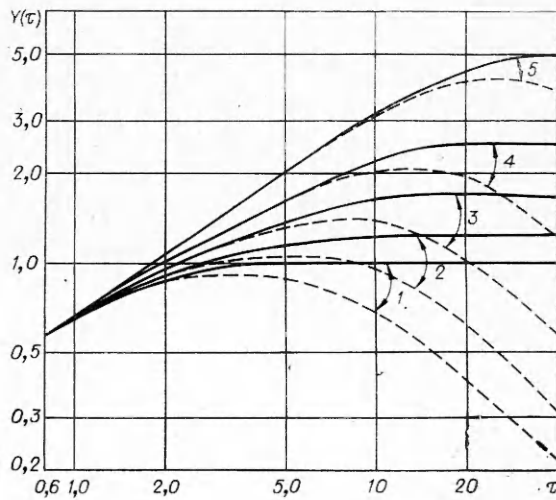
1 — (3.2); 2 — (3.3); 3 — (3.4); 4 — (3.5); 5 — (3.6); $\gamma_1 = 0,2, \gamma_2 = 0$; 6 — (3.6); $\gamma_1 = 0, \gamma_2 = 0,2$; 7 — (3.6); $\gamma_1 = \gamma_2 = 0,2$.

Видно, что во всех случаях, когда $\gamma_2 = 0$, общий характер зависимости $Y(\tau)$ сохраняется. При наличии периферической излучающей зоны ($\gamma_2 \neq 0$) с ростом оптической толщины ход $Y(\tau)$ резко меняется: депрессия контура [8] приостанавливается и энергетическая яркость в центральной части линии выходит на асимптоту

$$Y_0 = \gamma_2[\gamma_2 + s_2(1 - \gamma_2) - s_1(1 - \gamma_1)]^{-1}$$

Предсказывавшийся в [9, 11] «надпланковский» избыток интенсивности в некотором интервале $\Delta\tau$ заметен на кривых 4 и 6.

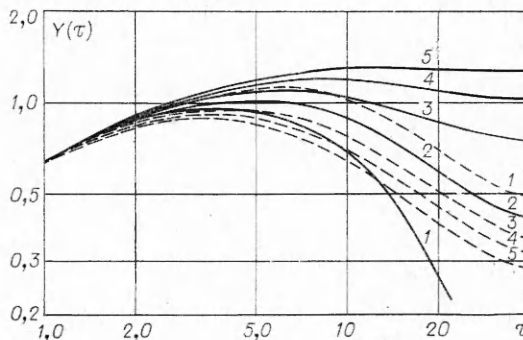
На фиг. 4 сравниваются два семейства кривых, отражающих роль параметра s_1 в формировании зависимости $Y(\tau)$ для случаев прямоугольной (сплошная линия, формула (3.2)) и треугольной (штриховая линия, формула (3.3)) моделей функции источника, причем параметр $s_2 = 1$, т. е. самостоятельной зоны 3 как бы не существует. Подобная картина близка к случаю сильной ударной волны или светящегося скин-слоя, вытесняющего периодическую поглощающую оболочку. Параметр s_1 варьируется (0; 0,2; 0,4; 0,6; 0,8). Видно, что с ростом τ для двух моделей $\varphi(x)$ ход $Y(\tau)$ существенно меняется. В одном случае наблюдается выход на «планковскую» или «надпланковскую» асимптоту (прямоугольник), в другом — кривые проходят через максимум и устремляются к нулю, что соот-



Фиг. 4

ветствует самообращению линии с интенсивностью в вершинах, которая может превышать планковский порог (треугольник). Применительно к подобным ситуациям известный пирометрический метод Бартеляса [12] должен быть модифицирован.

На фиг. 5 приведены результаты расчетов $Y(\tau)$ для случая трехзональной ступенчатой модели (формула (3.6)). Сплошной линией показаны кривые с изменяющимся параметром γ_2 (0; 0,2; 0,4; 0,6; 0,8) и $\gamma_1 = 0,2$; штриховой линией — кривые с изменяющимся параметром γ_1 (0; 0,2; 0,4; 0,6; 0,8), а $\gamma_2 = 0,2$. Видно, что, хотя периферическая зона в два раза уже центральной ($s_1 = 0,4$, $s_2 = 0,8$), ее роль в формировании реабсорбированных контуров линий значительно существеннее, это можно понять из общих зависимостей, относящихся к дивергенции лучистого потока неоднородного излучателя [9, 11].

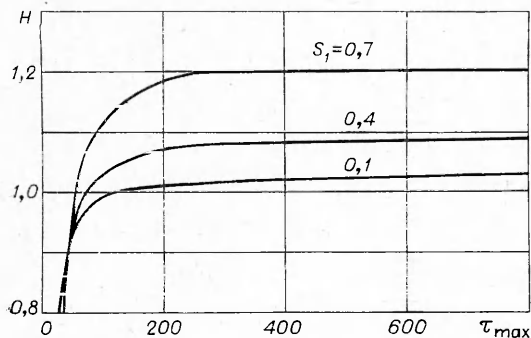


Фиг. 5.

Вопросы непосредственного формирования контуров линий, расчетов интегральных спектральных характеристик неоднородных оптически плотных объектов с «полыми» функциями источника, а также постановки соответствующих обратных (диагностических) задач предполагается рассмотреть отдельно.

Выше обсуждалась роль так называемых «полых» функций источника в задачах радиационной газодинамики. Отличительная черта таких функций — смещение их максимума относительно оси потока. Рассматривались соответствующие прямые задачи: рассчитывалась зависимость безразмерной энергетической яркости от оптической толщины слоя, выяснялись некоторые особенности формирования контура выходящей (реабсорбированной) линии, причины происхождения «надпланковских» избытков энергетической яркости и т. п. Ниже предлагается один из способов оценки тех параметров, которыми определяются размеры и форма «полости» у функции источника.

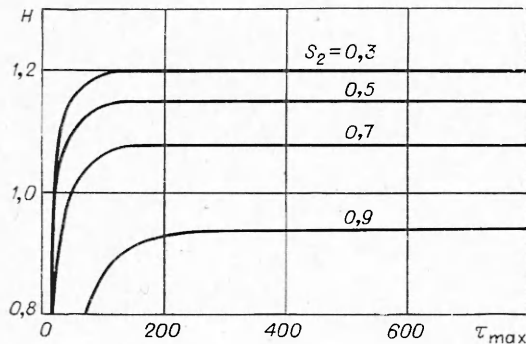
Ограничимся оценками граничных параметров s_1 и s_2 в наиболее важном с прикладной точки зрения [13,3] интервале максимальных оптических толщин слоя: $10^2 \leq \tau_{\max} \leq 10^3$. Во многих задачах радиационной газодинамики существенно определить именно не столько s_1 и s_2 по



Фиг. 6

отдельности, сколько их разность $\Delta s = s_2 - s_1$, так как эта величина в явном виде входит как в уравнение переноса излучения, так и в уравнение энергии (член с дивергенцией радиационного потока) [14]. Заметим также, что из-за достаточно больших значений τ_{\max} , указанных выше, исходный профиль линии с хорошей точностью может считаться дисперсионным.

Успех решения поставленной задачи во многом определяется выбором подходящего функционала (квазиинварианта) H , который был бы мало-чувствителен к величине τ_{\max} внутри заданного интервала $\Delta\tau_{\max}$ и к форме профиля «полой» функции источника, каждая из половин которой характеризуется шириной Δs . Кроме того, важно, чтобы H без особых трудностей и с приемлемой точностью фиксировался экспериментально.



Фиг. 7

Изменение H при вариации s_1 , когда параметр s_2 закреплён, и вариации s_2 , когда закреплён параметр s_1 , должно быть по возможности идентичным.

Указанным требованиям вполне отвечает функционал H такого вида: интегрируется область провала самообращения выходящего контура линии, отнесенная к величине частотного интервала, который разделяет максимумы самообращения.

Отметим, что подобный функционал в связи с другой задачей рассматривался в работе [15].

На фиг. 6 показана рассчитанная на ЭВМ зависимость $H(\tau_{\max})$ для случая, когда $S_2 = 0,8$, а s_1 растёт от 0,1 до 0,7; на фиг. 7 приведена та же зависимость, но в условиях, когда $s_1 = 0,2$, а s_2 растёт от 0,3 до 0,9.

Как непосредственно видно из приводимых результатов расчёта, функционал $H(\Delta s)$ можно рекомендовать в целях диагностики потоков плазмы и нагретых газов при наличии «полых» функций источника. При этом более точно могут быть найдены малые значения разности Δs ; однако и для интервала значений $0,5 \leq \Delta s \leq 0,9$ систематическая ошибка определения не превышает 5–10%.

Авторы благодарны Р. И. Солоухину за внимание к работе, проф. Ш. Сукеверу (США, Принстонский ун-т) за полезные обсуждения и В. В. Пикалову за помощь в расчётах.

Поступила 14 X 1975

ЛИТЕРАТУРА

1. Penner S. S., Olfe D. B. Radiation and reentry. N. Y., Academic Press, 1968.
2. Sibulkin M. Radiative properties of model gases for application in radiative energy transfer.— «J. Quant. Spectr. Radiat. Transfer», 1968, vol. 8, N 1, p. 451.
3. Modern optical methods in gas dynamic research.— In: Proc. Intern. Symposium. Syracuse Univ. N. Y., 1971.
4. Kubo S. Asymptotic theory of an optically thick radiating gas flow past a smooth boundary at moderate radiation strength.— «J. Phys. Soc. Japan», 1972, vol. 33, N 1, p. 246.
5. Ludvig C. V. Measurement of the curves-of-growth of hot water vapor.— «Appl. Optics», 1971, vol. 10, N 5, p. 1057.
6. Pyare Ram, Abu-Romia M. M. Plasma radiation effects in tube arc heating. Pap. ASME, 1971, N HT-18.
7. Колесников В. Н. Дуговой разряд в инертных газах.— «Труды ФИАН им. П. Н. Лебедева», 1964, т. 30, с. 66.
8. Томас Р., Атей Р. Физика солнечной хромосферы. М., «Мир», 1965.
9. Преображенский Н. Г. Спектроскопия оптически плотной плазмы. Новосибирск, «Наука», 1971.

10. Преображенский Н. Г. О повышении точности при спектральном определении малых содержаний.— «Изв. СО АН СССР», 1962, № 12, с. 75.
11. Pomraning G. C. The equations of radiation hydrodynamics. Oxford, Pergamon Press, 1973.
12. Bartels H. Über das Spektrum des dichten Plasmas.— In: Probleme des Plasmas in Physik und Astronomie. Berlin, 1958.
13. Современные проблемы газовой динамики. Под ред. Лоха У. Х. Т. М., «Мир», 1971.
14. Бай Ши-и. Динамика излучающего газа. М., «Мир», 1968.
15. Соляникова В. А. Метод определения параметров плазмы по самообращенным контурам спектральных линий.— «Оптика и спектроскопия», 1976, т. 40, № 2.

УДК 621.1.016+536.24

К ОЦЕНКЕ ТОЧНОСТИ ДИФФЕРЕНЦИАЛЬНОГО ПРИБЛИЖЕНИЯ УРАВНЕНИЯ ЛУЧИСТОГО ПЕРЕНОСА

А. М. Шварцбург

(Новосибирск)

Решение интегро-дифференциального уравнения энергии для поглощающе-излучающей среды связано со значительными математическими трудностями. В связи с этим при расчете радиационного теплообмена широко используются приближенные дифференциальные уравнения, содержащие коэффициенты переноса, осредненные по различным направлениям [1—8]. При анализе области применимости этого метода необходимо знать точные значения коэффициентов переноса и влияние их отклонения от осредненных значений на величину лучистого потока.

В работе [9] для расчета одномерных потоков излучения получено дифференциальное уравнение и граничные условия к нему:

$$(1) \quad \partial^2 q / \partial \eta^2 - [\tau_0(\tau_0 + \delta \beta l) / A] q - 4\tau_0 n^2 \partial E / \partial \eta = 0;$$

$$(2) \quad (1/\varepsilon - 1/2)q - (1/2\tau_0 m_1) \partial q / \partial \eta = (1 - 2/m_1)n^2 E \quad (\eta = 0);$$

$$(3) \quad q + (1/\tau_0 m_2) \partial q / \partial \eta = 4n^2 E / m_2 - 2(1 - r)E_0 \quad (\eta = 1);$$

$$A = \frac{\int_{(4\pi)} \frac{\partial I(\eta, s)}{\partial s} \cos(s, y) d\omega_s}{\int_{(4\pi)} \frac{\partial I(\eta, s)}{\partial y} d\omega_s}, \quad \delta = 1 - \frac{1}{4} \int_0^\pi \gamma(\vartheta) \sin 2\vartheta d\vartheta,$$

$$m_1 = \frac{\int_{(4\pi)} I(0, s) d\omega_s}{\int_{(4\pi)} I(0, s) |\cos(s, y)| d\omega_s}, \quad m_2 = \frac{\int_{(4\pi)} I(1, s) d\omega_s}{\int_{(4\pi)} I(1, s) |\cos(s, y)| d\omega_s},$$

где q — безразмерный поток излучения, $q = Q/\sigma T_c^4$ (Q — результирующий поток излучения, T_c — характерная температура); η — безразмерная координата, $\eta = y/l$; τ_0 — оптическая толщина слоя толщиной l ; β — коэффициент рассеяния; n — коэффициент преломления; E — безразмерная полусферическая плотность излучения абсолютно черного тела; ε — степень черноты пластины; r — коэффициент отражения; $I(\eta, s)$ —